

УДК 532.526.013.2

## **О ВЛИЯНИИ ПОГРАНИЧНОГО СЛОЯ НА НЕСТАЦИОНАРНЫЕ АЭРОДИНАМИЧЕСКИЕ ХАРАКТЕРИСТИКИ ЗАТУПЛЕННЫХ КОНУСОВ В СВЕРХЗВУКОВОМ ПОТОКЕ**

**ЛИПНИЦКИЙ Ю. М., ПЛАТОНОВ В. А., ПОКРОВСКИЙ А. Н.,  
СИРЕНКО В. Н., ШМАНЕНКОВ В. Н.**

Статья посвящена изучению влияния пограничного слоя на нестационарные аэродинамические характеристики затупленных конусов, колеблющихся в сверхзвуковом потоке газа относительно нулевого угла атаки. Решение задачи строится в рамках линейной теории тел конечной толщины. Применительно к уравнениям движения идеального газа такой подход был использован в [1–3], где рассчитывались нестационарные аэродинамические характеристики острых и затупленных тел различной конфигурации. Учет влияния на эти характеристики эффектов вязкости, обусловленных наличием на поверхности тела ламинарного пограничного слоя, приведен в [4–6] для тел простейшей формы (клин, конус).

В данной работе исследовано влияние на нестационарные аэродинамические характеристики конусов притупления переднего носка, ламинарного и турбулентного режимов течения в пограничном слое.

1. Рассматривается случай движения в сверхзвуковом потоке затупленного тела, совершающего гармонические колебания по закону  $\alpha = \alpha_0 \cos \omega t$ . В задачах аэродинамики обычно с большой точностью выполняются условия  $\alpha_0 \ll 1$ ,  $\alpha_0 \omega L / V_\infty \ll 1$ , обеспечивающие малое изменение угла атаки и малость скоростей перемещения точек поверхности тела в направлении нормали по сравнению со скоростью набегающего потока  $V_\infty$  ( $\alpha$  — угол атаки,  $\omega$  — частота колебаний,  $L$  — характерный размер тела).

В рамках линейной теории тел конечной толщины решение для уравнений идеального газа и пограничного слоя раскладываются в ряды [7]

$$\begin{aligned} f(t, x, r, \varphi) &= f_0(x, r) + \alpha f_\alpha(x, r) \cos \varphi + \dot{\alpha} f_{\dot{\alpha}}(x, r) \cos \varphi & (1.1) \\ f &= u, v, P, \rho, J \\ w(t, x, r, \varphi) &= \alpha w_\alpha(x, r) \sin \varphi + \dot{\alpha} w_{\dot{\alpha}}(x, r) \sin \varphi \end{aligned}$$

Здесь  $f_0, f_\alpha, f_{\dot{\alpha}}$  — значения функций в плоскости  $\varphi = 0$ ,  $w_\alpha, w_{\dot{\alpha}}$  — значения функций в плоскости  $\varphi = \pi/2$ ,  $u, v, w$  — компоненты скорости по направлениям  $x, r, \varphi$  соответственно,  $P$  — давление,  $\rho$  — плотность,  $J$  — полная энтальпия.

После подстановки выражений (1.1) в уравнения, описывающие нестационарное движение газа в идеальном ядре и пограничном слое, получают нелинейные системы дифференциальных уравнений для стационарных газодинамических функций и линейные системы для возмущений в фазе с углом атаки  $\alpha$  и угловой скоростью  $\dot{\alpha}$ . Для уравнений идеального газа решение систем с индексами 0,  $\alpha$ ,  $\dot{\alpha}$  получены в [3]. Ниже приводятся соответствующие уравнения пограничного слоя, описывающие относительное движение в жестко связанной с телом системе координат  $S, n, \varphi$  для стационарного пограничного слоя и для возмущений в фазе с  $\alpha$

$$\frac{1}{r} \frac{\partial \rho_0 u_0 r}{\partial S} + \frac{\partial \rho_0 v_0}{\partial n} = 0 \quad (1.2)$$

$$u_0 \frac{\partial u_0}{\partial S} + v_0 \frac{\partial u_0}{\partial n} = -\frac{1}{\rho_0} \frac{dP_0}{dS} + \frac{1}{\rho_0} \frac{\partial}{\partial n} \left( \Gamma_0 \frac{\partial u_0}{\partial n} \right) \quad (1.3)$$

$$u_0 \frac{\partial J_0}{\partial S} + v_0 \frac{\partial J_0}{\partial n} = \frac{1}{\rho_0} \frac{\partial}{\partial n} \left( R_0 \frac{\partial J_0}{\partial n} \right) + \frac{1}{\rho_0} \frac{\partial}{\partial n} \left\{ [Q_i \mu_0 + \gamma_i Q_i \varepsilon_0 \rho_0] u_0 \frac{\partial u_0}{\partial n} \right\} \quad (1.4)$$

$$\frac{1}{r} \frac{\partial \rho_0 r u_\alpha}{\partial S} + \frac{1}{r} \frac{\partial \rho_\alpha r u_0}{\partial S} + \frac{\partial \rho_0 v_\alpha}{\partial n} + \frac{\partial \rho_\alpha v_0}{\partial n} + \frac{\rho_0 w_\alpha}{r} = 0 \quad (1.5)$$

$$\begin{aligned} & u_0 \frac{\partial u_\alpha}{\partial S} + u_\alpha \frac{\partial u_0}{\partial S} + v_0 \frac{\partial u_\alpha}{\partial n} + v_\alpha \frac{\partial u_0}{\partial n} = \\ & = -\frac{1}{\rho_0} \frac{dP_\alpha}{dS} + \frac{1}{\rho_0} \frac{\rho_\alpha}{\rho_0} \frac{dP_0}{dS} + \frac{1}{\rho_0} \frac{\partial}{\partial n} \left( \Gamma_\alpha \frac{\partial u_0}{\partial n} \right) - \\ & - \frac{1}{\rho_0} \frac{\rho_\alpha}{\rho_0} \frac{\partial}{\partial n} \left( \Gamma_0 \frac{\partial u_0}{\partial n} \right) + \frac{1}{\rho_0} \frac{\partial}{\partial n} \left( \Gamma_0 \frac{\partial u_\alpha}{\partial n} \right) \end{aligned} \quad (1.6)$$

$$u_0 \frac{\partial w_\alpha}{\partial S} + v_0 \frac{\partial w_\alpha}{\partial n} + \frac{u_0 w_\alpha}{r} \frac{dr}{dS} = \frac{P_\alpha}{\rho_0 r} + \frac{1}{\rho_0} \frac{\partial}{\partial n} \left( \Gamma_0 \frac{\partial w_\alpha}{\partial n} \right) \quad (1.7)$$

$$\begin{aligned} & u_0 \frac{\partial J_\alpha}{\partial S} + u_\alpha \frac{\partial J_0}{\partial S} + v_0 \frac{\partial J_\alpha}{\partial n} + v_\alpha \frac{\partial J_0}{\partial n} = \frac{1}{\rho_0} \frac{\partial}{\partial n} \left( R_0 \frac{\partial J_\alpha}{\partial n} \right) + \frac{1}{\rho_0} \frac{\partial}{\partial n} \left( R_\alpha \frac{\partial J_0}{\partial n} \right) - \\ & - \frac{1}{\rho_0} \frac{\rho_\alpha}{\rho_0} \frac{\partial}{\partial n} \left( R_0 \frac{\partial J_0}{\partial n} \right) + \frac{1}{\rho_0} \frac{\partial}{\partial n} \left[ (Q_i \mu_0 + \gamma_i Q_i \varepsilon_0 \rho_0) u_\alpha \frac{\partial u_0}{\partial n} \right] + \frac{1}{\rho_0} \frac{\partial}{\partial n} \left[ (Q_i \mu_\alpha + \right. \\ & \left. + \gamma_i Q_i (\varepsilon_0 \rho_\alpha + \rho_0 \varepsilon_\alpha)) u_0 \frac{\partial u_0}{\partial n} \right] + \frac{1}{\rho_\alpha} \frac{\partial}{\partial n} \left[ (Q_i \mu_0 + \gamma_i Q_i \varepsilon_0 \rho_0) u_0 \frac{\partial u_0}{\partial n} \right] - \\ & - \frac{1}{\rho_0} \frac{\rho_\alpha}{\rho_0} \frac{\partial}{\partial n} \left[ (Q_i \mu_0 + \gamma_i Q_i \varepsilon_0 \rho_0) u_0 \frac{\partial u_0}{\partial n} \right] \end{aligned} \quad (1.8)$$

Уравнения для возмущений в фазе с  $\alpha$  в основном совпадают с (1.5)–(1.8), если в них заменить индекс  $\alpha$  на  $\dot{\alpha}$ . Кроме того, в левую часть уравнений войдут члены  $V_\infty' \rho_\alpha$ ,  $V_\infty' u_\alpha$ ,  $V_\infty' w_\alpha$ ,  $V_\infty' J_\alpha$ ,  $V_\infty' \frac{P_\alpha}{\rho_0}$  соответственно ( $V_\infty/L = V_\infty'$ ), а в уравнение для  $w_\alpha$  еще и члены, определяющие силы инерции

$$\frac{u_0}{r} \frac{\partial w_\alpha}{\partial S} + \frac{u_0 u_\alpha}{r} + v_0 \frac{\partial w_\alpha}{\partial n}$$

Начальные и граничные условия имеют вид

$$\begin{aligned} S=0: & \quad u_0 = u_{00}(n), \quad J_0 = J_{00}(n) \\ & \quad u_\alpha = u_{0\alpha}(n), \quad w_\alpha = w_{0\alpha}(n), \quad J_\alpha = J_{0\alpha}(n) \\ & \quad u_{\dot{\alpha}} = u_{0\dot{\alpha}}(n), \quad w_{\dot{\alpha}} = w_{0\dot{\alpha}}(n), \quad J_{\dot{\alpha}} = J_{0\dot{\alpha}}(n) \\ n=0: & \quad u_0 = u_\alpha = u_{\dot{\alpha}} = 0, \quad v_0 = v_{w0}(S) \\ v_\alpha = v_{w\alpha}(S), & \quad v_{\dot{\alpha}} = v_{w\dot{\alpha}}(S), \quad w_\alpha = w_{\dot{\alpha}} = 0, \quad J_0 = J_{w0}(S), \quad J_\alpha = J_{w\alpha}(S), \\ & \quad J_{\dot{\alpha}} = J_{w\dot{\alpha}}(S) \\ n \rightarrow \infty: & \quad u_0 = u_{\delta 0}(S), \quad u_\alpha = u_{\delta\alpha}(S), \quad u_{\dot{\alpha}} = u_{\delta\dot{\alpha}}(S) \\ & \quad w_\alpha = w_{\delta\alpha}(S), \quad w_{\dot{\alpha}} = w_{\delta\dot{\alpha}}(S) \\ & \quad J_0 = J_{\delta 0}(S), \quad J_\alpha = J_{\delta\alpha}(S), \quad J_{\dot{\alpha}} = J_{\delta\dot{\alpha}}(S) \\ & \quad \Gamma_0 = \mu_0 + \gamma_i \varepsilon_0 \rho_0, \quad \Gamma_\alpha = \mu_\alpha + \gamma_i (\rho_0 \varepsilon_\alpha + \rho_\alpha \varepsilon_0) \end{aligned}$$

$$R_0 = \frac{\mu_0}{Pr} + \gamma_4 \frac{\varepsilon_0 \rho_0}{Pr_t}, \quad R_\alpha = \frac{\mu_\alpha}{Pr} + \gamma_4 \frac{\varepsilon_0 \rho_\alpha + \rho_0 \varepsilon_\alpha}{Pr_t}$$

$$Q_i = 1 - \frac{1}{Pr}, \quad Q_t = 1 - \frac{1}{Pr_t}$$

Здесь  $\varepsilon_0, \varepsilon_\alpha, \varepsilon_\alpha^*$  — соответственно стационарный коэффициент турбулентной вязкости и возмущения в фазе с  $\alpha, \dot{\alpha}, \gamma_4$  — коэффициент перемежаемости,  $Pr, Pr_t$  — ламинарное и турбулентное числа Прандтля (в данной работе  $Pr=0,72, Pr_t=0,9$ ), индекс  $w$  соответствует параметрам на поверхности тела, а индекс  $\delta$  — на верхней границе пограничного слоя,  $u_e, w_e$  — компоненты переносной скорости, которая определяется формулой  $V = \dot{\alpha} \times |\mathbf{r} - \mathbf{r}_0|$ .

2. Для приведения уравнений к виду, удобному для численного интегрирования, введем обобщенные параболические переменные в следующей форме [8]:

$$S = S \quad \eta = \frac{Re_*^{1-1/\gamma_1}}{\gamma_1^{1/\gamma_1} \xi_*} \int_0^\eta \frac{\rho_0}{\rho_{\delta_0}} dn$$

$$\xi_* = \int_0^S r^{\gamma_1} \rho_{\delta_0} u_{\delta_0} \mu_{\delta_0}^{(\gamma_1-1)} dS / (r^{\gamma_1} \rho_{\delta_0} u_{\delta_0} \mu_{\delta_0}^{(\gamma_1-1)})$$

$$Re_* = \frac{\rho_{\delta_0} u_{\delta_0} \xi_*}{\mu_{\delta_0}}$$

$$\psi(S, n) = \gamma_1^{1/\gamma_1} \frac{\xi_*}{Re_*^{1-1/\gamma_1}} r \rho_{\delta_0} u_{\delta_0} f(S, n)$$

Здесь  $\gamma_1=2$  соответствует ламинарному режиму течения,  $\gamma_1=5/4$  — турбулентному режиму течения.

Для определения турбулентной вязкости в пограничном слое используется двухслойная модель [9], в которой учитывается зависимость давления от времени

$$\varepsilon_i = k_1^2 y^2 \left\{ 1 - \exp \left[ - \frac{y}{26\nu} \left( \frac{\tau_w}{\rho} + \frac{dP}{dx} \frac{y}{\rho} \right)^{1/2} \right] \right\} \left| \frac{\partial u}{\partial y} \right|$$

$$\nu = \frac{\mu}{\rho}, \quad \tau = \mu \frac{\partial u}{\partial y}, \quad k_1 = 0,4$$

$$\varepsilon_0 = K_2 u_{\delta_0} \delta_1^* \gamma_2$$

$$K_2 = 0,0168, \quad \gamma_2 = \left[ 1 + 5,5 \left( \frac{y}{\delta} \right)^6 \right]^{-1}$$

$$\delta_1^* = \int_0^\infty \left( 1 - \frac{u}{u_0} \right) dy$$

Условием перехода от расчета по одной вязкости к расчету по другой служит равенство  $\varepsilon_i = \varepsilon_0$ . В области перехода коэффициент перемежаемости определяется выражением

$$\gamma_4 = 1 - \exp \left( -8,33 \cdot 10^4 Re_t^{0,66} u_{\delta_0} \frac{x-x_t}{x_t^2} \int_{x_t}^x \frac{dx}{u_{\delta_0}} \right)$$

Здесь  $Re_t$  — число Рейнольдса начала перехода,  $x_t$  — точка начала перехода.

Решение системы (1.2)–(1.4) строится с применением метода квазилинеаризации [10]. Полученные линейные уравнения для возмущений в фазе с  $\alpha$  и  $\dot{\alpha}$  решаются на основе неявной конечно-разностной схемы второго порядка точности с применением пятиточечной скалярной прогонки.

В качестве начальных условий берутся профили скорости и энтальпии и их возмущений в фазе с углом атаки и угловой скоростью из автомоделльных решений в критической точке.

3. Определение газодинамических параметров в пограничном слое позволяет найти его влияние на аэродинамические характеристики тела. Это влияние проявляется через поверхностное трение и толщину вытеснения. Выражения для коэффициентов поверхностного трения в продольном и окружном направлениях и толщины вытеснения [11] имеют вид

$$c_f = \frac{2\mu_w (\partial u / \partial n)_w}{\rho_\infty V_\infty^2}, \quad c_\varphi = \frac{2\mu_w (\partial w / \partial n)_w}{\rho_\infty V_\infty^2}$$

$$\delta^* = \int_0^\infty \left(1 - \frac{\rho u}{\rho_0 u_0}\right) dn + \frac{1}{\rho_0 u_0 r} \int_0^s \left\{ \frac{\partial}{\partial t} \left[ r \rho_0 \int_0^\infty \left(1 - \frac{\rho}{\rho_0}\right) dn - r \rho_0 \delta^* \right] \right\} dS$$

При определении влияния параметров пограничного слоя на аэродинамические характеристики коэффициенты трения и толщина вытеснения раскладываются в ряды согласно (1.1).

Учет вязкого взаимодействия может быть осуществлен решением задачи о внешнем обтекании тела с новой эффективной подвижной формой поверхности

$$r = r(S) + \delta_0^*(S) + \alpha \delta_\alpha^*(S) \cos \varphi + \dot{\alpha} \delta_{\dot{\alpha}}^*(S) \cos \varphi$$

В этом случае граничные условия при решении уравнений идеального газа ставятся на подвижной поверхности и для возмущений в фазе с  $\dot{\alpha}$  учитывается скорость ее перемещения в направлении по нормали к телу.

Для приближенной оценки индуцированного давления можно воспользоваться формулами

$$\Delta P_\alpha = \frac{dP_\alpha}{d\Theta_k} \frac{d\delta_0^*}{dx} + \frac{dP_0}{d\Theta_k} \frac{d\delta_\alpha^*}{dx}$$

$$\Delta P_{\dot{\alpha}} = \frac{dP_{\dot{\alpha}}}{d\Theta_k} \frac{d\delta_0^*}{dx} + \frac{dP_0}{d\Theta_k} \left( \frac{d\delta_{\dot{\alpha}}^*}{dx} + \frac{\delta_{\dot{\alpha}}^*}{u_0 \sqrt{1 + (dr/dx)^2}} \right)$$

где  $\Theta_k$  — угол полураствора конуса.

Обычно в нестационарной аэродинамике возмущения аэродинамических сил и моментов принято выражать через вращательные производные, которые вычисляются по формулам

$$C_n^i = \frac{a_i}{r^2} \int_0^s r \Phi_i(S) dS$$

$$m_z^i = \frac{a_i}{r^2 S} \int_0^s r \left[ -r F_i(S) + \left( \int_0^s \sqrt{1 - \left(\frac{dr}{dS}\right)^2} dS - x_0 \right) \Phi_i(S) \right] dS$$

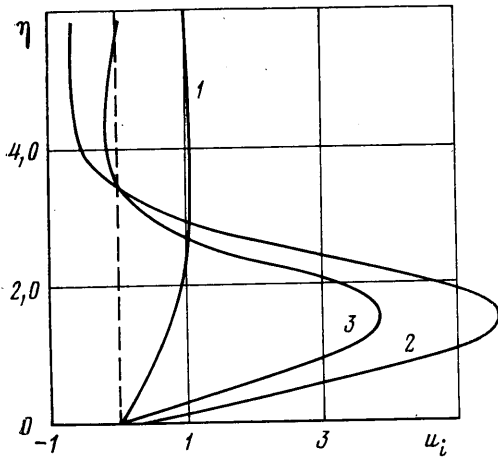
$$\Phi_i(S) = c_{fi} \frac{dr}{dS} - 2(p_i + \Delta p_i) \sqrt{1 - \left(\frac{dr}{dS}\right)^2} - c_{\varphi i}$$

$$F_i = c_{fi} \sqrt{1 - \left(\frac{dr}{dS}\right)^2} + 2(p_i + \Delta p_i) \frac{dr}{dS}$$

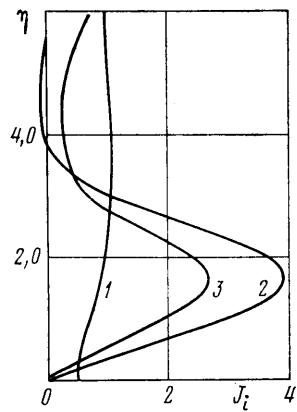
$$i = \alpha, \dot{\alpha}, p_i = \frac{p_i}{\rho_\infty V_\infty^2}, \quad a_\alpha = 1, \quad a_{\dot{\alpha}} = \frac{V_\infty}{L}$$

где  $x_0$  — координата центра колебаний.

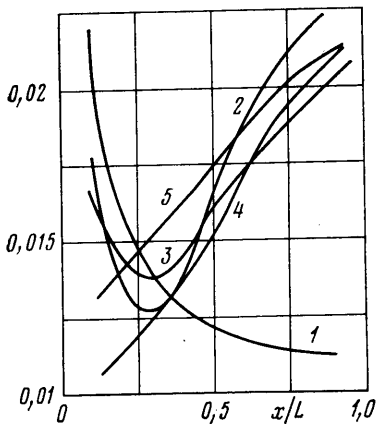
4. На фиг. 1, 2 изображены профили скорости  $u_0(\eta)$ , энтальпии  $J_0(\eta)$ , добавок  $u_\alpha(\eta)$ ,  $J_\alpha(\eta)$ , и  $J_{\dot{\alpha}}(\eta)$ ,  $u_{\dot{\alpha}}(\eta)$  (кривые 1-3 соответственно) при обтекании затупленного конуса с углом полураствора  $\Theta_k = 10^\circ$ , с удлинением  $L/r = 20$  при следующих



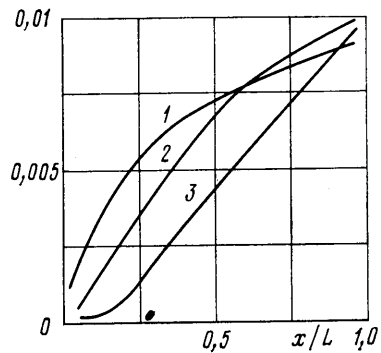
Фиг. 1



Фиг. 2



Фиг. 3



Фиг. 4

условиях:  $M_\infty=20$ ,  $Re_\infty=10^6$ ,  $T_w/T_{00}=0,5$  ( $T_w$  — температура поверхности,  $T_{00}$  — полная температура торможения). Внутри пограничного слоя имеют место максимумы функций в фазе с углом атаки и угловой скоростью. Поведение скорости и энтальпии аналогично профилям этих функций, полученным в [5] для колеблющегося клина.

$x/r_0$	2	4	8	12	16	20
$C_{n0}^\alpha$	-0,83	-0,85	-0,79	-0,83	-0,97	-1,12
$C_{n\tau}^\alpha$	-0,02	-0,027	-0,031	-0,033	-0,037	-0,04
$C_{n\delta}^\alpha$	0,07	0,14	0,26	0,35	0,38	0,42
$C_{n0}^\alpha$	-0,50	-0,42	-0,38	-0,37	-0,39	-0,40
$C_{n\tau}^\alpha$	-0,025	-0,027	-0,024	-0,021	-0,02	-0,019
$C_{n\delta}^\alpha$	0,01	0,06	0,15	0,20	0,18	0,16
$m_{z0}^\alpha$	-0,44	-0,377	-0,382	-0,472	-0,603	-0,732
$m_{z\tau}^\alpha$	-0,0144	-0,0194	-0,0218	-0,0248	-0,0295	-0,033
$m_{z\delta}^\alpha$	0,043	0,080	0,169	0,230	0,250	0,270
$m_{z0}^\alpha$	-0,249	-0,238	-0,235	-0,249	-0,279	-0,285
$m_{z\tau}^\alpha$	-0,0136	-0,0165	-0,0171	-0,0164	-0,0164	-0,016
$m_{z\delta}^\alpha$	0,013	0,048	0,109	0,151	0,128	0,109

На фиг. 3 представлено распределение коэффициента трения  $0,3C_{fa}$  и соответствующих добавок  $C_{fa}$ ,  $C_{фа}$ ,  $C_{f\alpha}$ ,  $C_{\phi}$  (кривые 1-5 соответственно). Поведение кривых  $C_{fa}$ ,  $C_{фа}$  отвечает соответствующему распределению давления. Условия обтекания были те же, что и для фиг. 1, 2. На фиг. 4 дано распределение функций  $\delta_0^*$ ,  $\delta_{\alpha^*}$ ,  $\delta_{\alpha^*}^*$  (кривые 1-3 соответственно) вдоль образующей тела при  $Re_{\infty} = 2 \cdot 10^9$ , когда пограничный слой на значительной части тела является турбулентным.

В таблице представлены значения аэродинамических характеристик, полученные в приближении идеального газа (индекс 0) и добавки из-за трения (индекс  $\tau$ ) и вязкого взаимодействия (индекс  $\delta$ ). Из таблицы видно, что добавка из-за трения увеличивает значения аэродинамических характеристик, а добавка из-за вязкого взаимодействия уменьшает  $C_n^{\alpha}$ ,  $C_n^{\dot{\alpha}}$ ,  $m_z^{\alpha}$ ,  $m_z^{\dot{\alpha}}$ . Причем по абсолютной величине добавки из-за трения составляют всего 10% от добавки из-за взаимодействия, что говорит об определяющем значении последних.

В данной работе все расчеты проводились для  $x_0 = 0$ , т.е. за центр колебаний принималась передняя критическая точка.

Полученные результаты могут быть обобщены на случай обтекания конуса при наличии вдува с поверхности.

#### ЛИТЕРАТУРА

1. Полянский О. Ю. О некоторых особенностях нестационарного обтекания тел сверхзвуковым потоком газа. — Изв. АН СССР. МЖГ, 1966, № 4, с. 30-36.
2. Теленин Г. Ф. Исследование обтекания колеблющегося конуса сверхзвуковым потоком. М.: Оборонгиз, 1959. 61 с.
3. Липницкий Ю. М. Теоретическое исследование сверхзвукового нестационарного обтекания затупленных тел. — Докл. АН СССР, 1968, т. 178, № 1, с. 59-62.
4. Телионис Д. П. Отрывные и безотрывные нестационарные пограничные слои. Обзор. Теоретические основы инженерных расчетов. — Труды американского общества инженеров-механиков. М.: Мир, 1979, № 1, с. 142-161.
5. Степанов Г. Н. Ламинарный пограничный слой на колеблющемся клине. — Изв. АН СССР. МЖГ, 1980, № 4, с. 146-151.
6. Корниенко Е. С., Шманенков В. Н. О влиянии вдува на характеристики нестационарного пограничного слоя на колеблющемся клине в сверхзвуковом потоке. — Изв. АН СССР. МЖГ, 1981, № 1, с. 171-175.
7. Теленин Г. Ф., Тиляков Г. П. Нестационарное сверхзвуковое обтекание конуса с округленной вершиной. — Изв. АН СССР. Мех. и маш., 1961, № 2, с. 97.
8. Программы, составленные на алгоритмическом языке ФОРТРАН, для численного интегрирования уравнений двумерного пограничного слоя. — Тр. ЦАГИ, 1973, вып. 1482, 64 с.
9. Себеси Т., Смит А. И. Конечно-разностный метод расчета сжимаемых ламинарного и турбулентного пограничных слоев. — Теор. основы инж. расчетов, 1970, № 3, с. 121-133.
10. Беллман Р., Кабала Р. Квазилинеаризация и нелинейные краевые задачи. М., 1968. 183 с.
11. Moore F. K., Ostrach S. Displacement thickness of the unsteady boundary layer. — J. Aeronaut. Sci., 1957, v. 24, № 1, p. 77-78.

Москва, Днепропетровск

Поступила в редакцию  
18.XI.1981